

Introduzione ai rivelatori di particelle

Parte 2 luce e materia

Introduzione ai rivelatori di particelle

L'interazione di fotoni con la materia

- Ci interessano radiazioni X e γ (energie $\geq 1\text{keV}$)
- Al crescere dell'energia sono rilevanti i seguenti meccanismi:
 1. Effetto fotoelettrico $h\nu \ll m_e c^2$
 2. Diffusione su elettroni $h\nu \approx m_e c^2$
 3. Produzione di coppie e^+e^- $h\nu > 2m_e c^2$
- Diversamente dal caso delle particelle cariche, il fotone non perde in piccola parte della sua energia in molte interazioni
 - o non interagisce, penetrando nella materia
 - o viene diffuso a grande angolo (caso 2)
 - o interagisce cedendo completamente l'energia
 - non si può parlare di range, solo di probabilità di interazione
- Con un fascio di fotoni (monocromatico) si può parlare di diminuzione del flusso di fotoni (intensità)

$$-\frac{dI}{dx} = I\mu$$

$$I(x) = I_0 e^{-\mu x}$$

$$N_f = \frac{I}{h\nu}$$

- μ = coefficiente di assorbimento

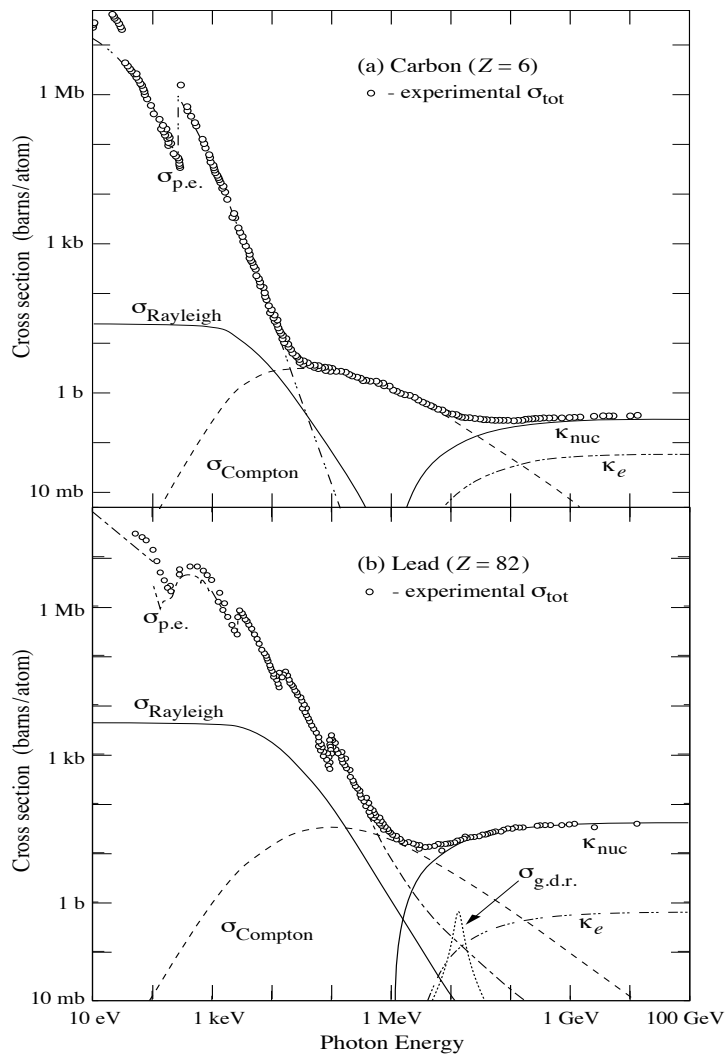
Introduzione ai rivelatori di particelle

coefficiente di assorbimento

- il coefficiente di assorbimento (in cm^{-1} o in cm^2/g) è dato dal contributo dei vari processi:

$$\frac{\mu}{\rho} = \frac{N_A}{A} \sigma_{Photo} + Z \frac{N_A}{A} \sigma_{Compton} + \frac{N_A}{A} \sigma_{Pair}$$

- Il coefficiente di attenuazione dipende fortemente dall'energia del fotone.



Introduzione ai rivelatori di particelle

effetto fotoelettrico

- **il fotone cede l'energia ad un elettrone atomico, che viene emesso**
 - in presenza del nucleo, per conservare il momento
 - per fotoni energetici vengono spesso interessati gli elettroni nei livelli energetici più interni $1S = K$ ($\approx 80\%$ della sezione d'urto)
 - **Il riarrangiamento energetico può far emettere un altro fotone X , o anche un elettrone (elettrone Auger)**
- Dipendenza dall'energia molto pronunciata

$$\sigma_{photo}^K \approx \sqrt{\left(\frac{32}{\epsilon^7}\right)} \alpha^4 Z^5 \sigma_{Th}$$

$$\epsilon = \frac{h\nu}{m_e c^2}$$

$$\sigma_{Th} = \frac{8}{3} \pi r_e^2$$

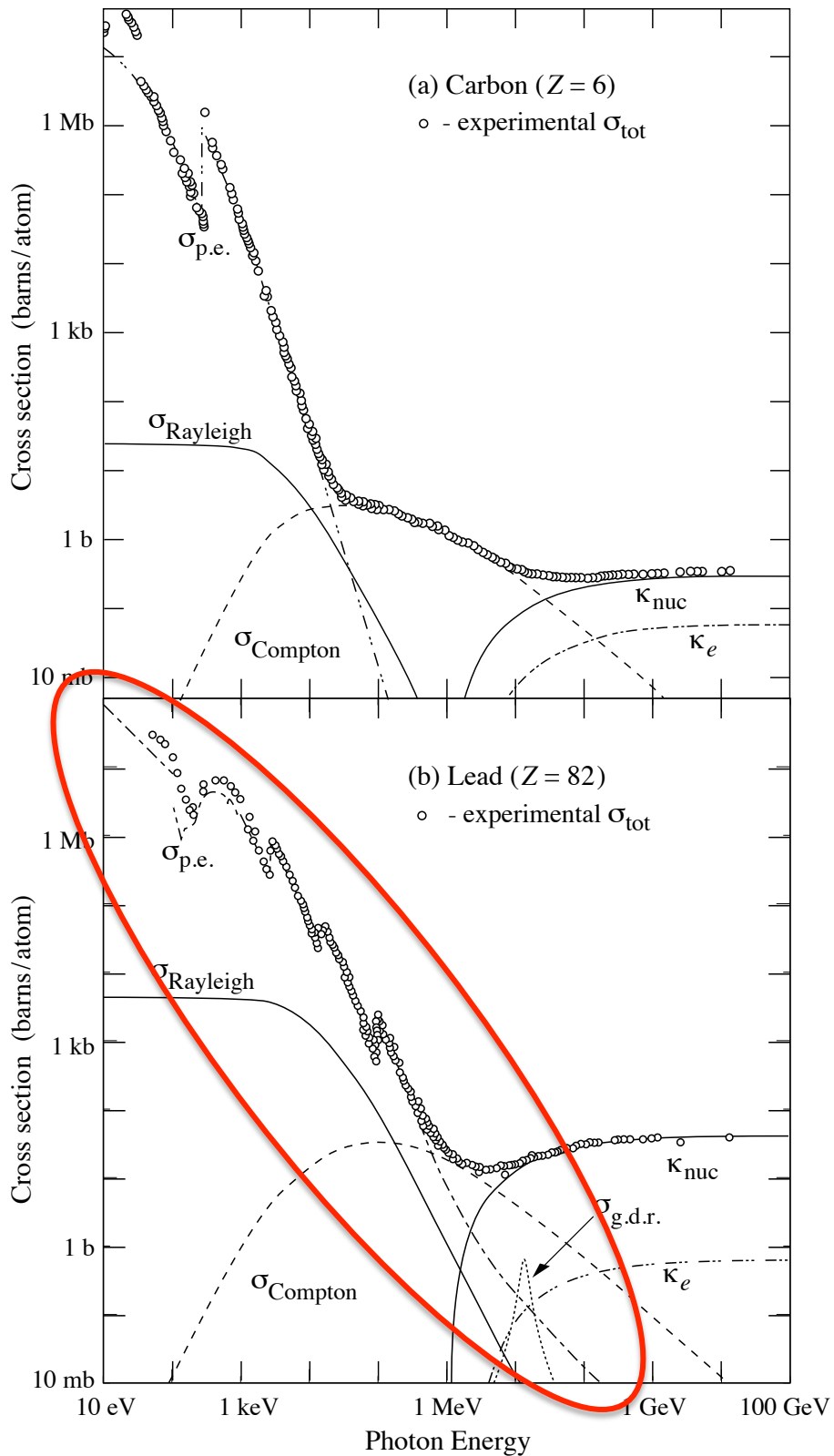
- diventa meno pronunciata per $\epsilon > 1$

$$\sigma_{photo}^K \approx 4\pi r_e^2 Z^5 \alpha^2 \cdot \frac{1}{\epsilon}$$

- ci sono brusche variazioni in presenza dei livelli atomici (edge effects)
- in ogni caso, notare la dipendenza da Z^5

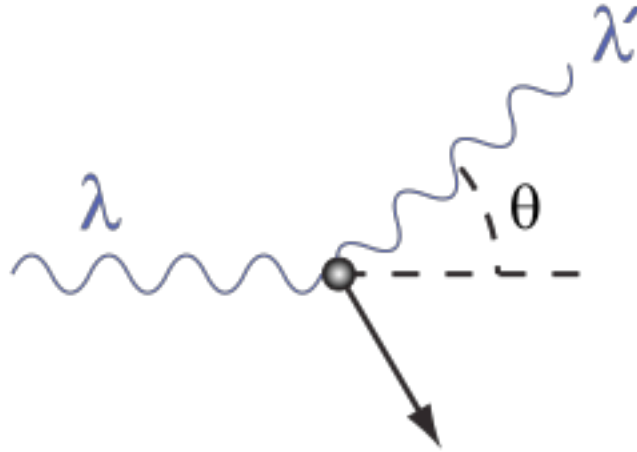
Introduzione ai rivelatori di particelle

effetto fotoelettrico



Introduzione ai rivelatori di particelle

diffusione Compton



- diffusione $\gamma e^- \rightarrow \gamma e^-$ con l'elettrone libero (energia del fotone molto superiore all'energia di legame):

$$\lambda' - \lambda = \frac{h}{m_e c} (1 - \cos \theta) = \lambda_C (1 - \cos \theta)$$

- La sezione d'urto differenziale è nota come formula di Klein-Nishina (1929), e integrata fornisce la probabilità d'interazione per elettrone (in $\text{cm}^2/\text{elettrone}$):

$$\sigma_C^e = 2\pi r_e^2 \left[\left(\frac{1 + \varepsilon}{\varepsilon^2} \right) \left(\frac{2(1 + \varepsilon)}{1 + 2\varepsilon} - \frac{1}{\varepsilon} \ln(1 + 2\varepsilon) \right) + \frac{1}{2\varepsilon} \ln(1 + 2\varepsilon) - \frac{1 + 3\varepsilon}{(1 + 2\varepsilon)^2} \right]$$

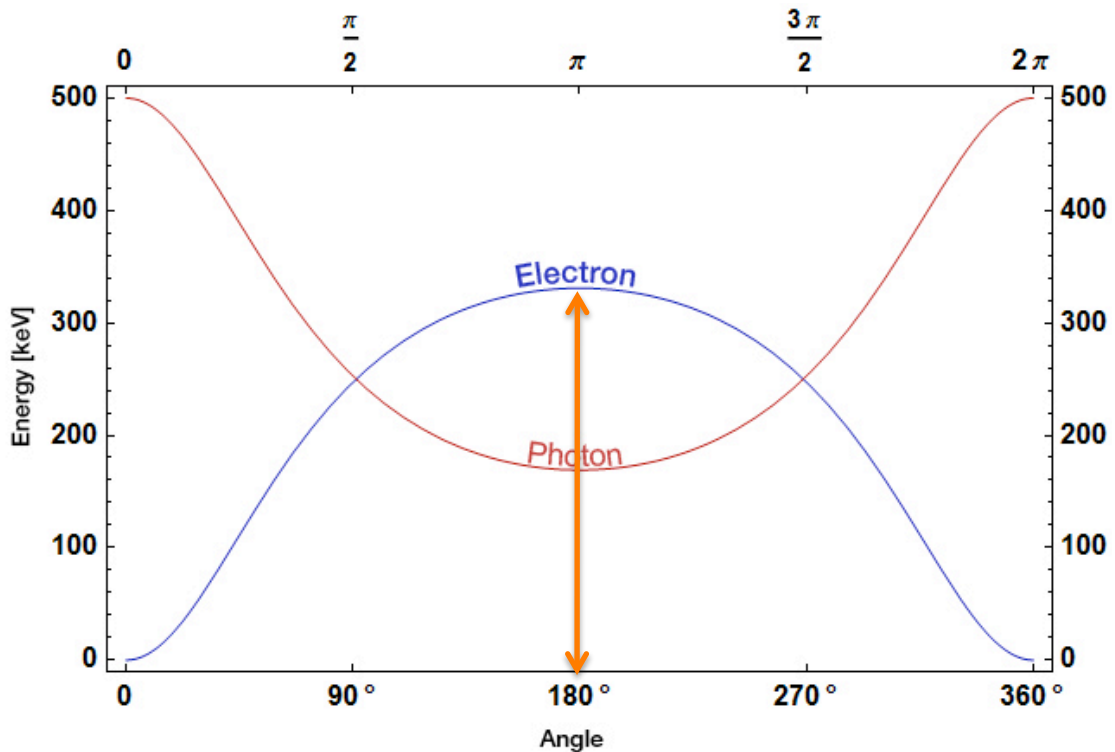
$$\varepsilon = \frac{h\nu}{m_e c^2}$$

Introduzione ai rivelatori di particelle

diffusione Compton

- La massima energia che l'elettrone può acquistare è

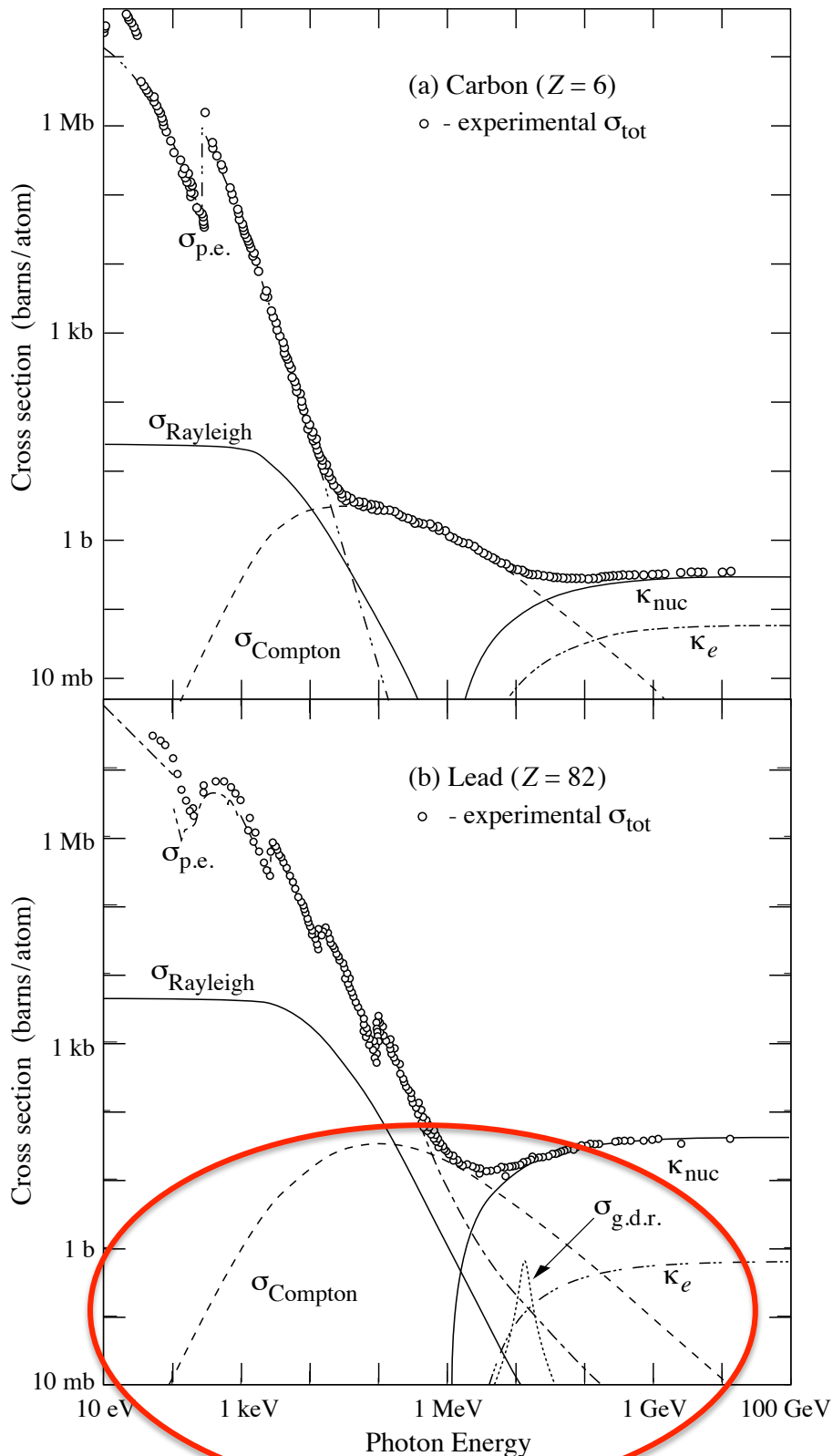
$$E_{MAX}^e = h\nu \frac{2\varepsilon}{1 + 2\varepsilon}$$



- Lo spettro di energia dell'elettrone diffuso (energia ceduta al mezzo) ha un taglio al valore massimo (Compton edge)

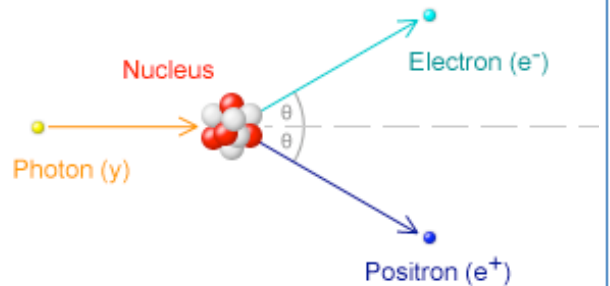
Introduzione ai rivelatori di particelle

diffusione Compton



Introduzione ai rivelatori di particelle

Produzione di coppie e^+e^-



- $\gamma \rightarrow e^+e^-$
 - energia di soglia
 - $h\nu \geq 2m_e c^2 = 1.022 \text{ MeV}$
 - conservazione di energia e momento
 - serve nucleo spettatore
- Sezioni d'urto approssimate

$$\text{per } 2m_e c^2 \ll h\nu \ll \frac{m_e c^2}{\alpha} Z^{-1/3}$$

$$\sigma_{\text{Pair}} = 4Z^2 \alpha r_e^2 \left[\frac{7}{9} \ln \left(\frac{2h\nu}{m_e c^2} - f(z) \right) - \frac{109}{54} \right]$$

$$\text{per } h\nu \gg \frac{m_e c^2}{\alpha} Z^{-1/3}$$

$$\sigma_{\text{Pair}} = 4Z^2 \alpha r_e^2 \left[\frac{7}{9} \ln(183Z^{-1/3} - f(z)) - \frac{1}{54} \right]$$

Introduzione ai rivelatori di particelle

Produzione di coppie e^+e^-

- NB per alte energie la sezione d'urto $\gamma \rightarrow e^+e^-$ non dipende da ν
- Per completezza bisogna tenere conto anche della diffusione sul campo di un elettrone e non del nucleo
 - come nel caso del bremsstrahlung l'effetto è minore di un fattore Z
 - si introduce $Z(Z+1)$ al posto di Z^2
- coefficiente di assorbimento per alte energie:

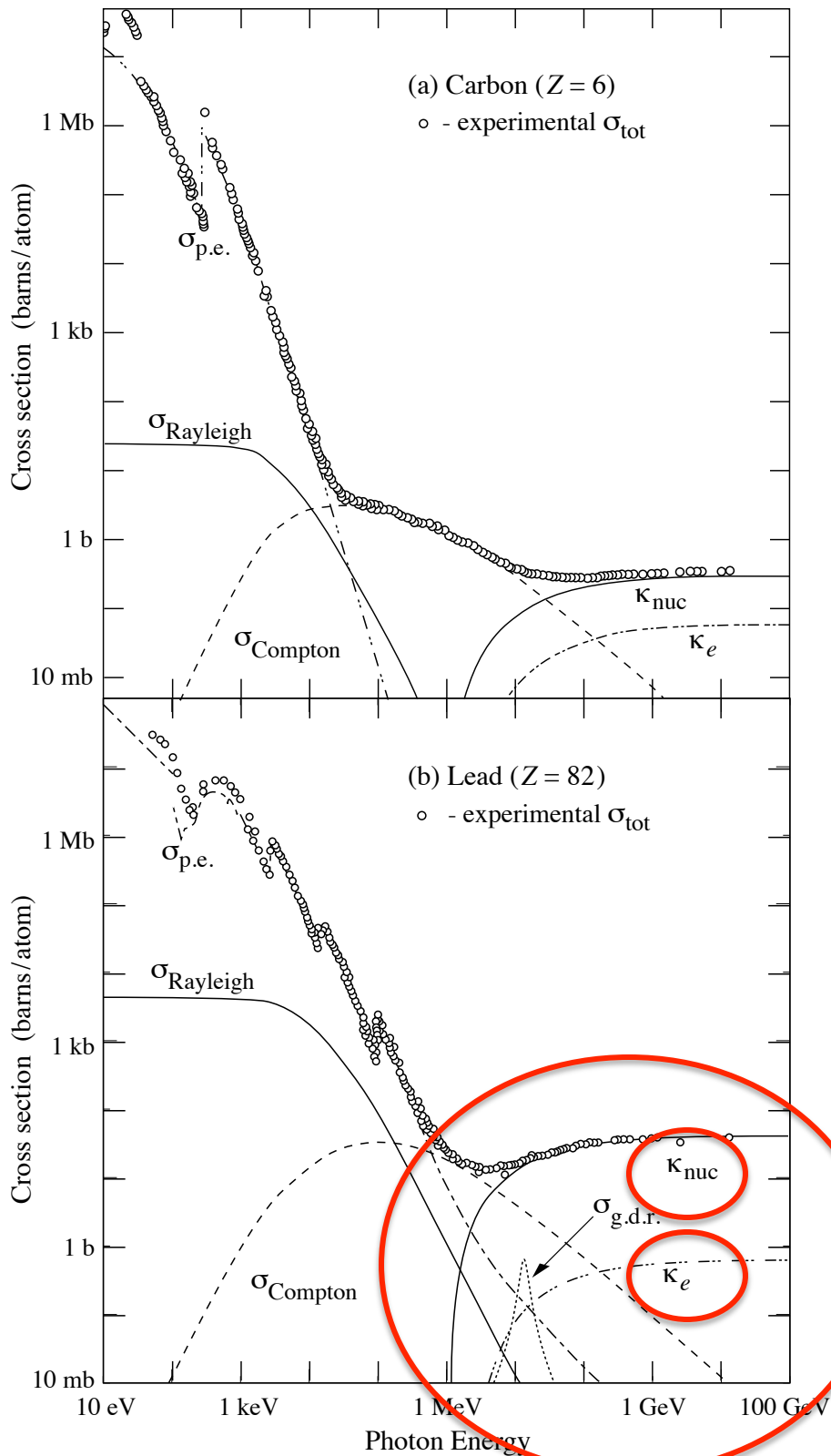
$$\mu_{Pair} = \rho \frac{N_A}{A} \sigma_{Pair} = \frac{1}{\lambda_{Pair}}$$

$$\frac{1}{\lambda_{Pair}} \approx \frac{7}{9} 4Z(Z+1)\alpha r_e^2 \left[\ln(183Z^{-1/3}) \right] \approx \frac{7}{9} \frac{1}{X_0}$$

$$\lambda_{Pair} \approx \frac{9}{7} X_0 \approx 1.3 X_0$$

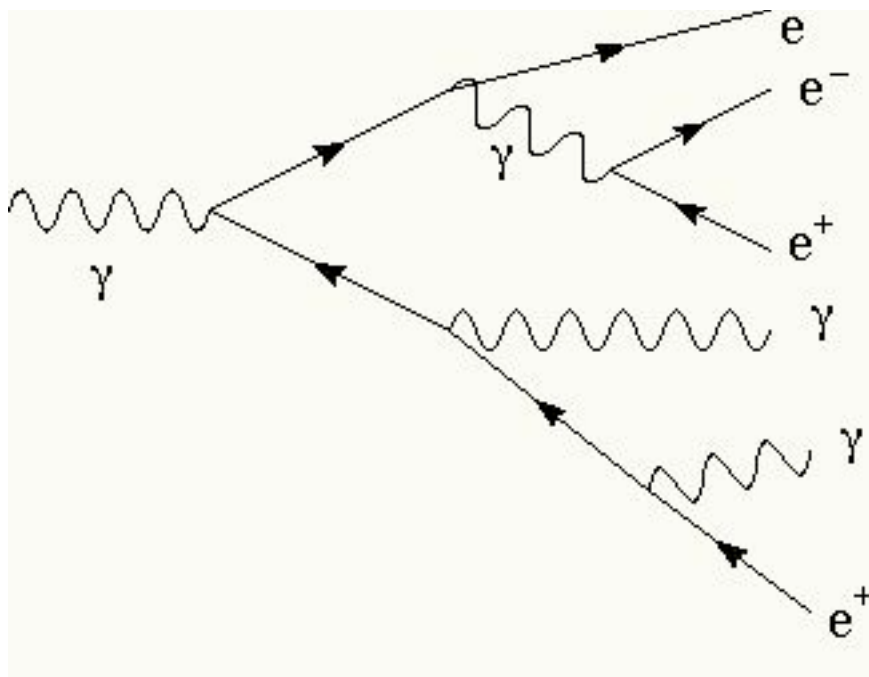
Introduzione ai rivelatori di particelle

Produzione di coppie e^+e^-



Introduzione ai rivelatori di particelle

sciame elettromagnetici



- Gli effetti combinati di produzione di coppie e bremsstrahlung generano un fenomeno molto rilevante
 - Un fotone di alta energia genera una coppia e^+e^-
 - l'elettrone e il positrone radiano fotoni per bremsstrahlung
 - i fotoni a loro volta creano altre coppie e^+e^-
 - il fenomeno si ferma quando i fotoni hanno energie sotto soglia per la creazione di coppie, e gli elettroni irradiano meno efficacemente (sotto l'energia critica)

⇒ **Sciame elettromagnetico**

- Il fenomeno è analogo se la particella iniziale è un elettrone
- Il fatto che $\lambda_{\text{Pair}} \approx X_0$ rende lo sciame molto simmetrico

Introduzione ai rivelatori di particelle

sciame elettromagnetici

- Calcolo molto semplificato
 - se $\lambda_{\text{Pair}} \approx X_0$ si assume che ad ogni lunghezza di radiazione attraversata il numero di particelle raddoppia e l'energia per particella dimezza (in media)
 - Se l'energia iniziale del fotone o dell'elettrone è E_0 alla fine di t lunghezze di radiazione il numero di particelle è $N \approx 2^t$ e l'energia per particella è $E \approx E_0/N$
 - Lo sciame si arresta quando

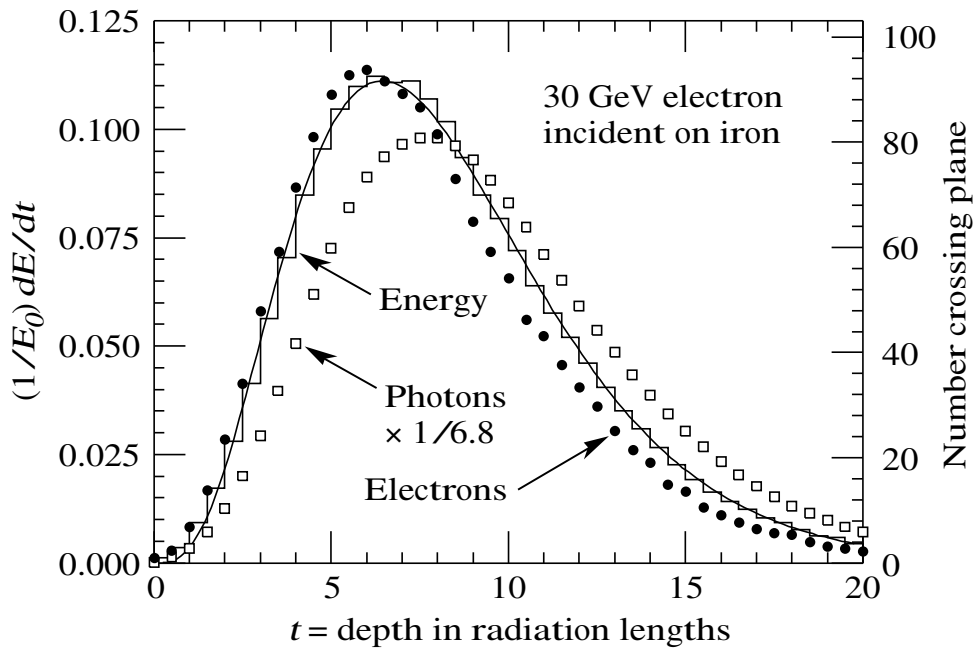
$$E = \frac{E_0}{2^{t_{\text{MAX}}}} = E_C$$

$$t_{\text{MAX}} = \frac{\ln(E_0/E_C)}{\ln 2}$$

- In realtà ovviamente non c'è un cut-off così netto, e l'andamento degli sciami si ottiene con programmi di simulazione

Introduzione ai rivelatori di particelle

sciame elettromagnetici



- Esempio nella figura: distribuzione della frazione di energia depositata per lunghezza di radiazione, per uno sciame da 30 GeV in Fe (il cut-off è a 1.5 MeV per la determinazione del numero di particelle per che attraversano un piano a profondità t)

- Una formulazione che approssima bene la curva (linea nel grafico) è:

$$\frac{dE}{dt} = E_0 b \frac{(bt)^{a-1} e^{-bt}}{\Gamma(a)}$$

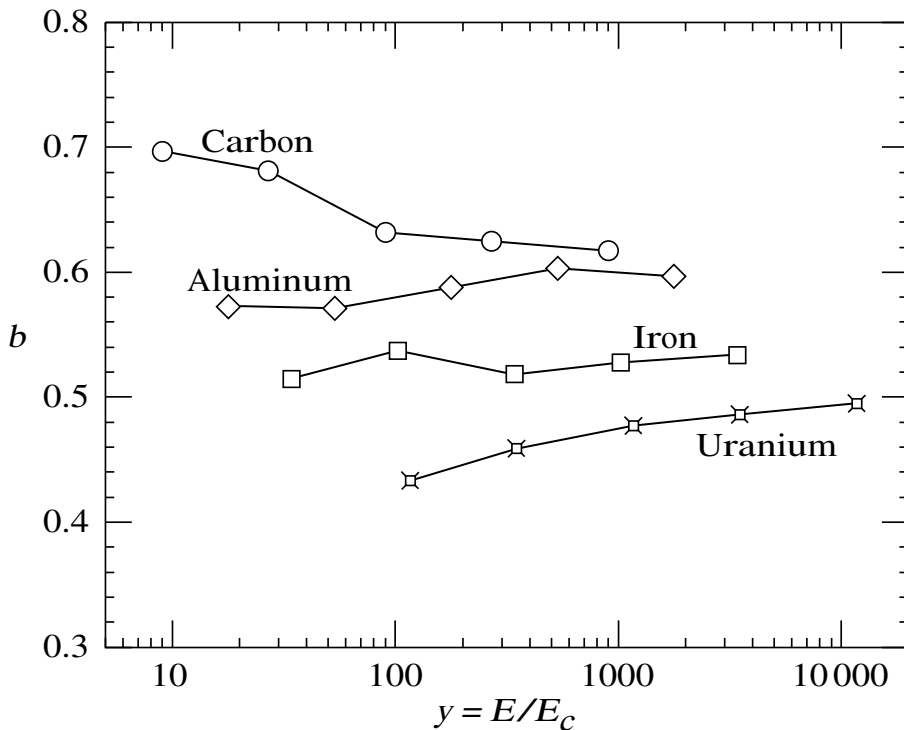
$$\Gamma(a) = \int_0^{\infty} t^{a-1} e^{-t} dt \quad \Gamma(n) = (n-1)!$$

$$t_{\max} = \frac{x_{\max}}{X_0} = \frac{a-1}{b}$$

- con **a** e **b** parametri che dipendono dal materiale

Introduzione ai rivelatori di particelle

sciame elettromagnetici



- Il valore di t_{\max} (in lunghezze di radiazione) rispettivamente per elettroni e fotoni può essere approssimato da:

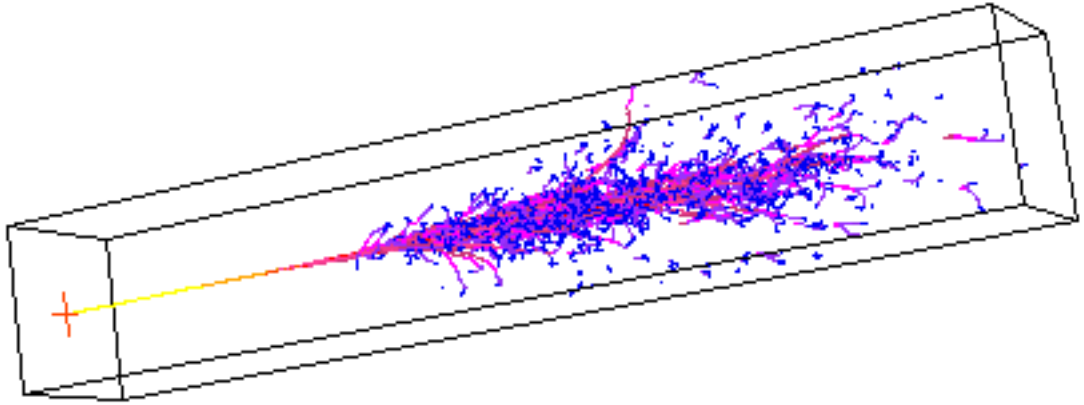
$$t_{\max}^e = \frac{a-1}{b} = \ln \frac{E_0}{E_c} - 0.5$$

$$t_{\max}^\gamma = \frac{a-1}{b} = \ln \frac{E_0}{E_c} + 0.5$$

- quindi come atteso il picco dello sciame cresce logaritmicamente con l'energia. Ricavando b dalla figura in alto (o usando $b \approx 0.5$) si ricava a , quindi la parametrizzazione dello sciame

Introduzione ai rivelatori di particelle

sciame elettromagnetico



- Sviluppo laterale dello sciame elettromagnetico. Si misura in termini del “raggio di Moliere”

$$R_M \approx X_0 \frac{21.2 \text{ MeV}}{E_C}$$

$$R_M \approx 0.0265 X_0 (Z + 1.2)$$

- più del 90% dell'energia è contenuto in un cilindro di raggio $2R_M$, e più del 99% entro un cilindro di raggio $3.5R_M$
- Esempio per il Pb
 - $R_M = X_0 \times 21.2/7.8 = 2.7X_0$
 - $R_M = 0.0265X_0(82+1.2) = 2.2X_0$

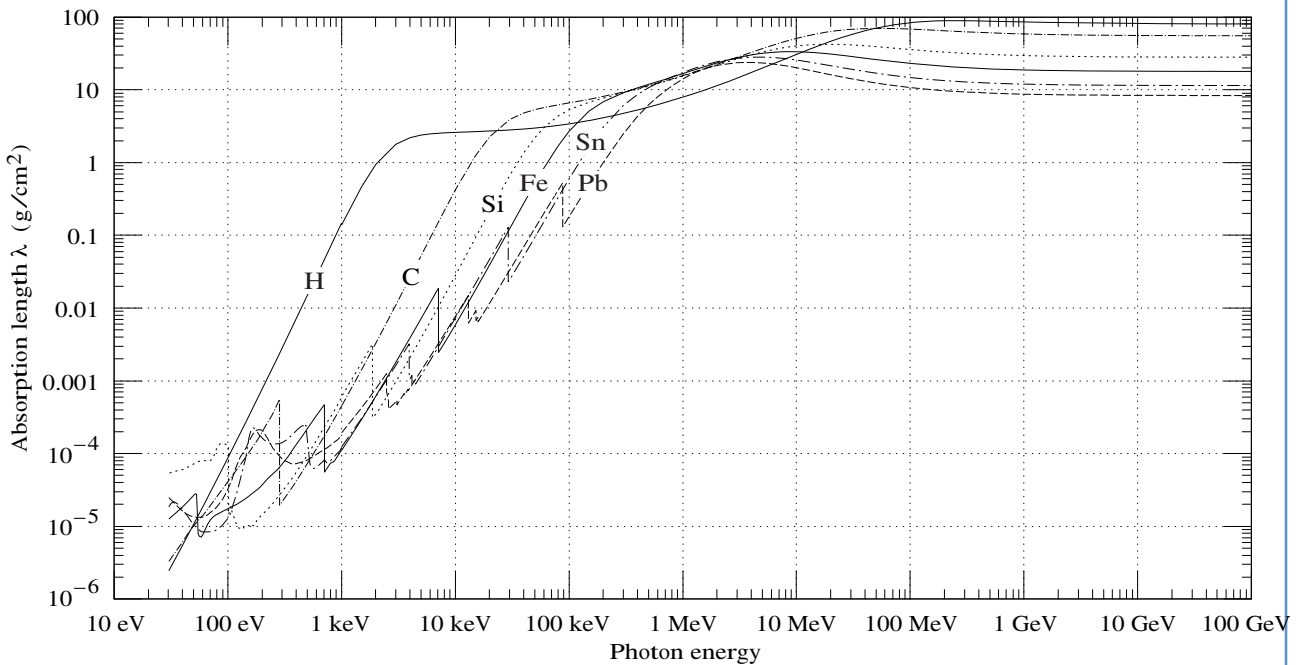
Introduzione ai rivelatori di particelle

cammino libero medio per i fotoni

- coefficiente di attenuazione e cammino libero medio:

$$\lambda = \frac{1}{\mu} \rightarrow I = I_0 e^{-\frac{x}{\lambda}} = I_0 e^{-\mu x}$$

- NB espresso in g/cm^2 , va diviso per ρ



- C'è un minimo di interazione (massimo cammino libero medio) per i materiali pesanti attorno a qualche MeV:
- $\lambda \approx 20 \text{ gm}/\text{cm}^2$, per il Pb ($\rho = 11.34 \text{ g}/\text{cm}^3$) si ha $\lambda \approx 1.8 \text{ cm}$

- **fotoni da qualche MeV penetrano facilmente qualche cm di piombo**